

## 浙江省新阵地教育联盟 2024 届第二次联考

### 地理试题卷

命题：台州一中 宋城城、冯贻平 磨题：淳安中学 姜小祥 仙居中学 陈瑶 校稿：曹佩菊  
本试题卷分选择题和非选择题两部分，满分 100 分，考试时间 90 分钟。

#### 考生注意：

1. 答题前，请务必将自己的姓名、准考证号用黑色字迹的签字笔或钢笔分别填写在试题卷和答题纸规定的位置上。
2. 答题时，请按照答题纸上“注意事项”的要求，在答题纸相应的位置上规范作答，在本试题卷上的作答一律无效。

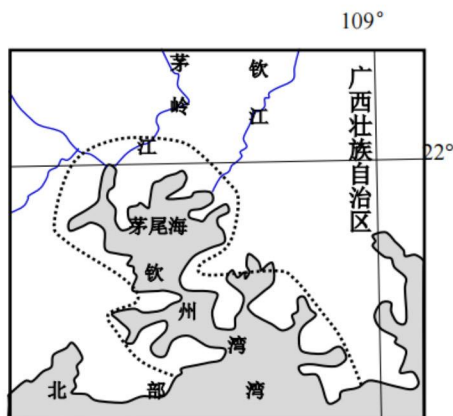
#### 选择题部分

一、选择题 I（本大题共 20 小题，每小题 2 分，共 40 分。每小题列出的四个备选项中只有一个是符合题目要求的，不选、多选、错选均不得分）

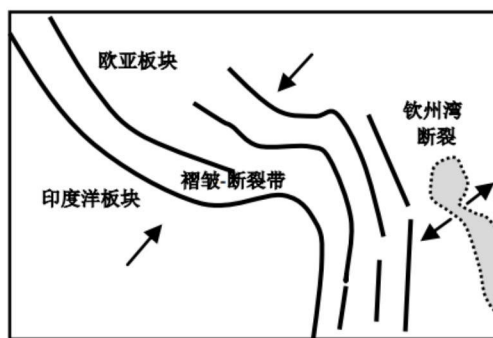
资溪县位于武夷山西麓，当地的面包食品产业起源于上世纪末。如今，面包食品生产作为该县的首位产业，在各地建立了“中央工厂模式”（中央工厂+大型冷链物流+门店销售），实现国内广泛区域的覆盖。完成 1、2 题。

1. 上世纪末，促进资溪县面包食品产业发展的区位因素是  
A. 原料                      B. 交通                      C. 技术                      D. 市场
2. 资溪面包产业实行“中央工厂模式”的最终目的是  
A. 提高产品质量              B. 打造食品品牌              C. 提高附加价值              D. 获得更高效益

茅尾海位于钦州湾北部，其直接成因是地壳断裂下陷和海水入侵，水域内海洋物种丰富。图 1 为茅尾海位置示意图，图 2 为钦州湾形成地质图。完成 3、4 题。



第 3、4 题图 1



说明：图中箭头方向表示受力方向

第 3、4 题图 2

3. 茅尾海形成的地质过程，顺序正确的是  
①板块碰撞    ②钦州湾断裂下陷    ③横断山区扭动    ④钦州湾受张力作用    ⑤海水入侵  
A. ①②③④⑤              B. ①③④②⑤              C. ③②①④⑤              D. ③④①②⑤
4. 茅尾海海洋物种丰富的主要原因是  
A. 寒暖流交汇              B. 水文条件多样              C. 海区较封闭              D. 海域面积广阔

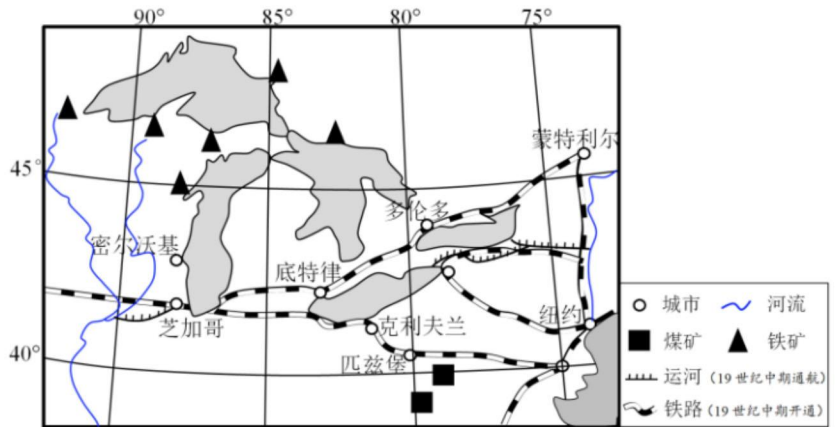
19世纪中期，克利夫兰市迅速发展，炼油、钢铁、机械加工等行业兴盛。至20世纪后半叶，该市工业逐渐衰退，成为典型的收缩城市。下图为五大湖地区主要工业城市分布图。完成5、6题。

5. 19世纪中期，克利夫兰市工业迅速发展得益于

- A. 丰富的劳动力
- B. 便利的水陆交通
- C. 集聚的产业部门
- D. 较近的原料产地

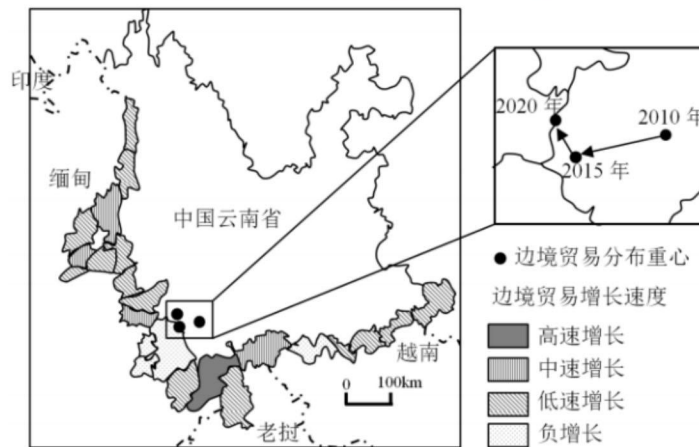
6. 克利夫兰城市收缩的根本原因是

- A. 城市用地无序扩张
- B. 大城市的虹吸作用
- C. 全球产业转移升级
- D. 失业率的持续上升



第5、6题图

云南独特的地理区位和“一带一路”建设，使其成为边境贸易发展的前沿地区。下图为云南省县域边境贸易发展增长速度空间分布格局趋势演变图。完成7、8题。



第7、8题图

7. 关于图示时期边境贸易空间分布格局的描述，正确的是

- A. 中越边界贸易发展最为迅速
- B. 趋向中缅边境一侧转移明显
- C. 边境贸易空间格局演变剧烈
- D. 边境贸易水平差距持续缩小

8. 对贸易重心移动趋势影响相对较小的是

- A. 交通
- B. 政策
- C. 风俗习惯
- D. 人均GDP

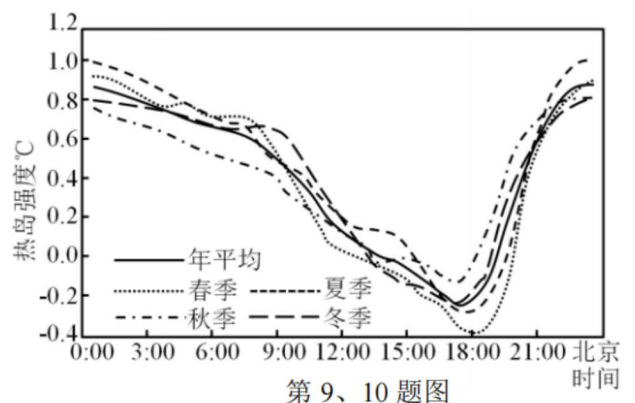
城市热岛强度是指中心城区比郊区气温高的数值大小。下图为2010-2020年重庆市中心城区不同季节平均热岛强度的日变化示意图。完成9、10题。

9. 关于2010-2020年重庆市中心城区热岛强度特征，叙述正确的是

- A. 白天较弱，夜间较强
- B. 日间下降，夜间上升
- C. 夏季日变化幅度最小
- D. 冬季的热岛效应最弱

10. 为缓解重庆市城市热岛强度，下列措施合理的是

- A. 压缩工业生产规模
- B. 建立城市通风廊道
- C. 扩大郊区水泥路面
- D. 提高城市建筑密度



第9、10题图

2023年7月28日，强台风“杜苏芮”在福建晋江登陆，影响范围较大。右图为浙江省相关部门7月26日发布的局地山洪灾害风险预警五色图。完成11、12题。

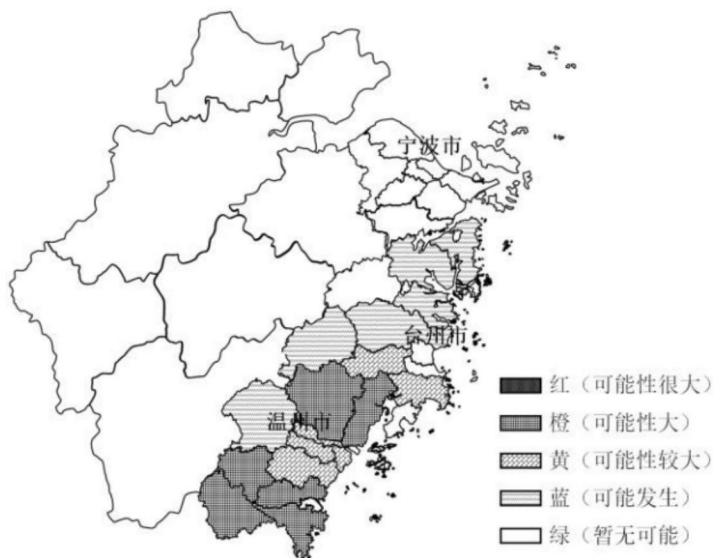
11. 与宁波市相比，温州市山洪灾害风险等级较高的主要原因是

- A. 距台风中心较近，风力强
- B. 受灾严重，防灾标准较高
- C. 区域内短时降水强度较大
- D. 市域范围的水域面积更大

12. 利用地理信息技术防治此次山洪灾害的有效措施为

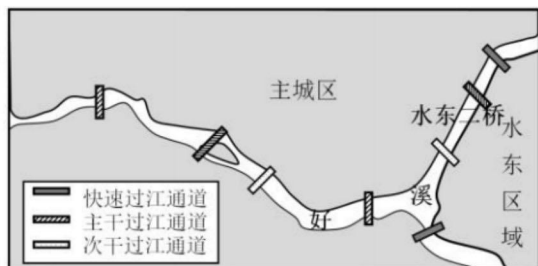
- ①借助RS监测气象云图动态变化
- ②借助GNSS获取台风中心的位置
- ③借助GIS采集短历时的雨量信息
- ④借助GIS预警山洪灾害风险等级

- A. ①②
- B. ③④
- C. ②③
- D. ①④



第11、12题图

丽水市城市风廊及配套设项目于2023年开工，其中包含新建一座特大桥梁（暂名水东二桥）。桥梁选址于市水上运动训练基地附近，单跨过溪。下图为水东二桥项目位置示意图及景观图。完成13、14题。



第13、14题图

13. 水东二桥单跨过溪的主要原因是

- A. 建设大桥的预算有限
- B. 减少对沿线生态破坏
- C. 预留运动训练的空间
- D. 缩短桥梁的施工时间

14. 该项目建成后产生的交通影响是

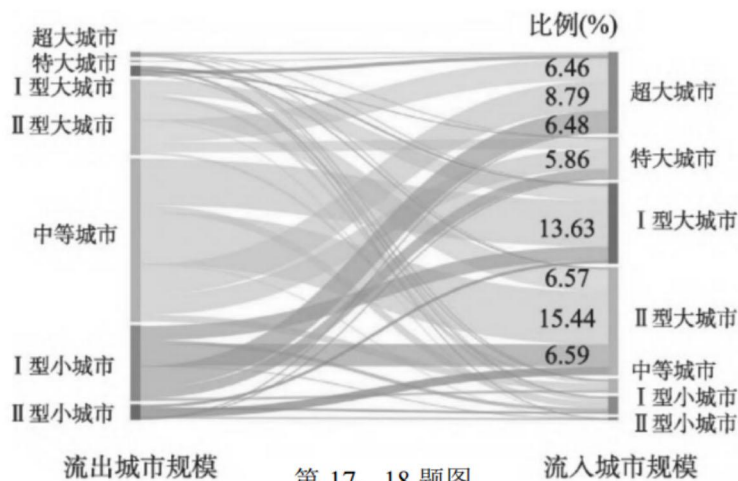
- A. 加强与周边城市的联系
- B. 有效提升区域板块价值
- C. 丰富丽水交通运输类型
- D. 缩短两岸居民来往时间

新疆博格达山地是温带干旱区山地生态系统的最典型代表，是研究全球气候变化下干旱区山地生态系统生物群落演替的杰出范例。下表为1997-2016年博格达山地垂直带分界线海拔变化情况。完成15、16题。

	温带荒漠草原带-山地草原带	山地草原带-山地针叶林带	山地针叶林带-高山草甸带	高山草甸带-高山垫状植被带	高山垫状植被带-冰雪带
1997	1257m	1770m	2702m	3269m	3643m
2004	1245m	1762m	2706m	3283m	3659m
2016	1185m	1759m	2730m	3293m	3690m

15. 水热条件组合最优的植被带，其海拔区段
- A. 上限上升-下限下降                      B. 上限下降-下限下降
- C. 上限下降-下限上升                      D. 上限上升-下限上升
16. 导致温带荒漠草原带带幅宽度变化的自然原因是
- A. 土壤有机质分解快                      B. 人为的管理与保护
- C. 植被覆盖率的提高                      D. 冰川融水有所增加

下图为 2017 年青年流动人口不同城市规模间的流向，其中城市等级按常住人口数量划分（I型城市人口数量大于同等级的II型城市）。完成 17、18 题。



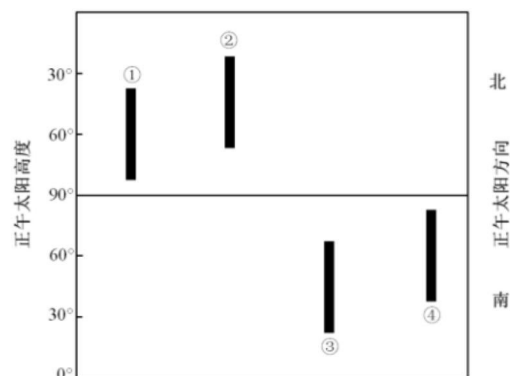
第 17、18 题图

17. 关于青年流动人口城市选择的等级与规模特征，不正确的是
- A. 中等城市、I型小城市与II型大城市为主要流出地
- B. 大城市对于青年人口流入依然具有较强的吸引力
- C. 经济特征仍是青年流动人口城市选择的主要因素
- D. 超大城市与特大城市为青年流动人口的主要选择

18. II型小城市的人口流动对当地的主要影响是
- A. 阻碍经济发展                      B. 提高人口容量
- C. 造成婚配困难                      D. 优化空间结构

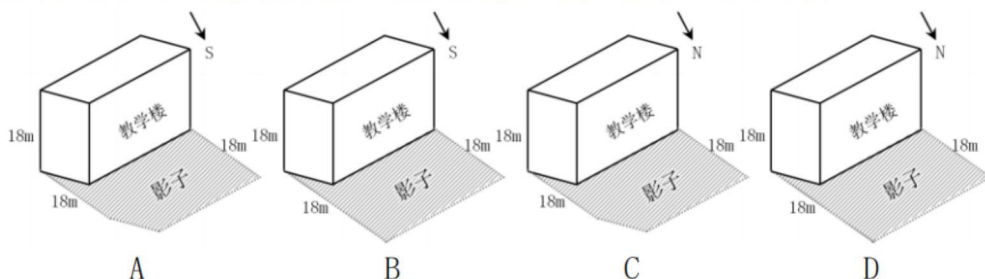
某校地理研究性学习小组在校内（45°N）进行正午太阳方位及高度的观测，并将观测结果绘制成正午太阳高度年内变化示意图（如右图）。完成 19、20 题。

19. 图中四地，代表学校所在地的是
- A. ①                      B. ②
- C. ③                      D. ④



第 19、20 题图

20. 能正确表示春分日正午该校教学楼（东北-西南走向）影子的示意图是



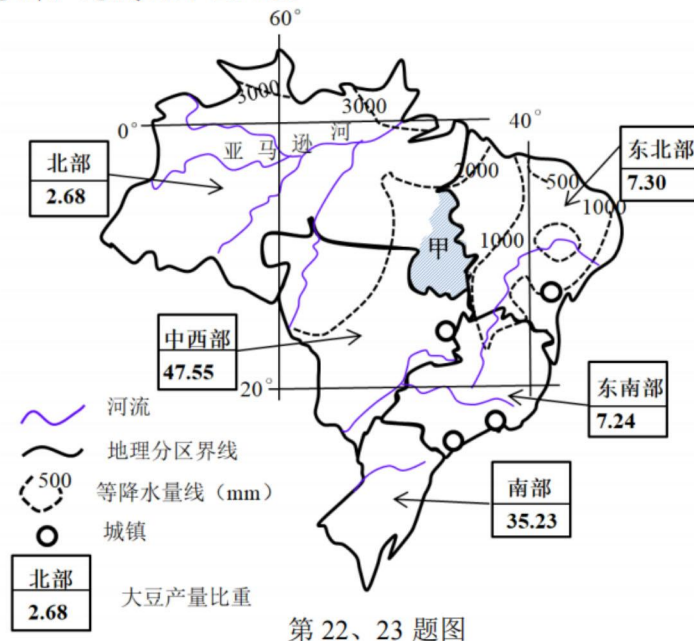
二、选择题II（本大题共5小题，每小题3分，共15分。每小题列出的四个备选项中只有一个是符合题目要求的，不选、多选、错选均不得分）

张家口市地处干旱半干旱过渡的农牧交错区，研究发现，张家口市林地面积与水源涵养功能的空间分布具有一致性，且随林地面积增加，水源涵养量呈先增加后减少的趋势。完成第21题。

21. 后期，张家口市水源涵养量随林地面积增加而减少的主要原因是

- A. 径流流失增加      B. 下渗速率增加      C. 大气降水增加      D. 蒸腾作用增强

大豆喜暖，最适生长温度在20-25℃，对土壤水分要求高，其生产需占用较多的土地。巴西大豆种植历史悠久，近年来得益于政策支持，已成为世界上最大的大豆生产国。下图为巴西地理分区及各区的大豆产量比重示意图。完成22、23题。



第22、23题图

22. 甲地大豆产量增幅最明显，其原因是

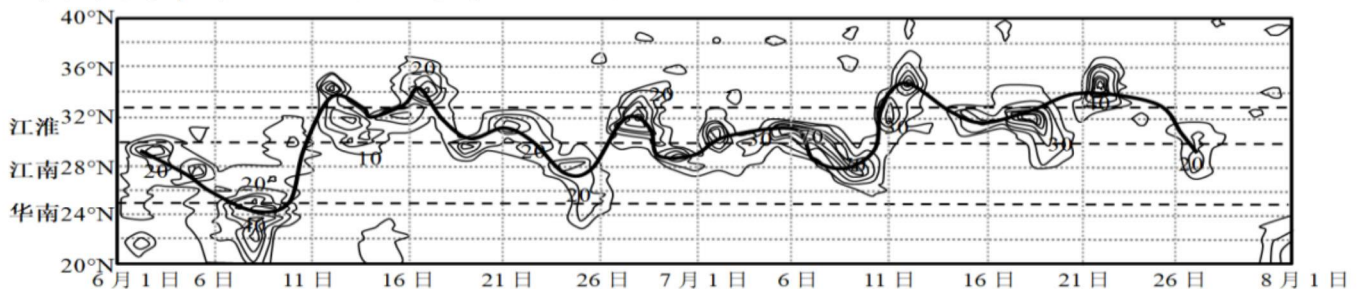
- A. 市场需求显著扩大      B. 耕地面积大幅增长  
C. 机械化耕作的普及      D. 种植技术得到突破

23. 关于五大地理分区的大豆生产条件，区位评价正确的是

- ①南部地处低纬，热量充足，利于大豆生产      ②中西部地势低平，大豆种植面积广  
③北部雨林密布，耕地破碎，大豆产量较低      ④东南部人口密集，大豆生产用地少  
⑤东北部的的水资源不足，制约当地大豆生产

- A. ①②③      B. ①③④      C. ②④⑤      D. ③④⑤

梅雨产生于西太平洋副热带高压边缘，是极地气团和副热带气团相互作用的产物，其位置和稳定性与副热带高压的位置和强度密切相关。下图为2020年梅雨季我国降雨实况时间-纬度剖面图（等值线为降水量，单位：mm）。完成24、25题。



第24、25题图

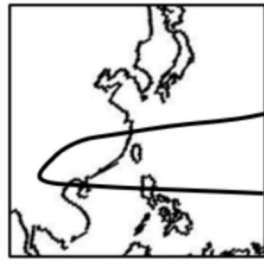
24. 下列四个副热带高压边缘位置（黑实线）中，最有利于形成上述降水纬度分布特征的是



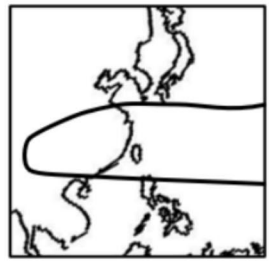
A.



B.



C.



D.

25. 与常年同期相比，该大气环流背景下叙述正确的是

①南下冷空气势力偏弱

②江淮地区的锋面雨偏多

③长江流域的气温偏高

④7月下旬副高位置偏南

A. ①②

B. ①③

C. ②④

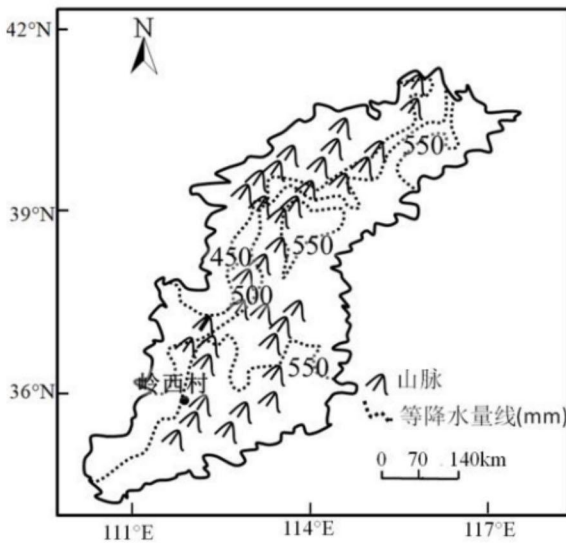
D. ③④

## 非选择题部分

三、非选择题（本大题共3小题，共45分）

26. 阅读材料，完成下列问题。（13分）

**材料一：**太行山地区是华北平原重要的生态安全屏障，也是典型的生态脆弱区。近年来，一个个生态保护修复项目落地实施，生态环境得到较大改善，下图为太行山区地理位置示意图，下表为耕地转化为其他土地利用类型的统计表（单位： $\text{km}^2$ ）。



第26题图

第26题表

时段	1990-2000	2000-2010	2010-2020
耕地→耕地	48270.79	48270.70	46840.84
耕地→林地	2.48	32.78	345.65
耕地→草地	31.26	28.07	611.15
耕地→水域	56.71	51.32	218.01
耕地→建设用地	751.03	451.02	1123.74
耕地→未利用土地	1.35	12.98	31.52

**材料二：**岭西村地处太行山南端海拔最高地带，长期供电能力不足。为满足山区百姓用电需求，当地供电公司打破常规电网的建设思路，探索开展独立式风光储互补微电网供电模式，并于2023年6月建成投运。

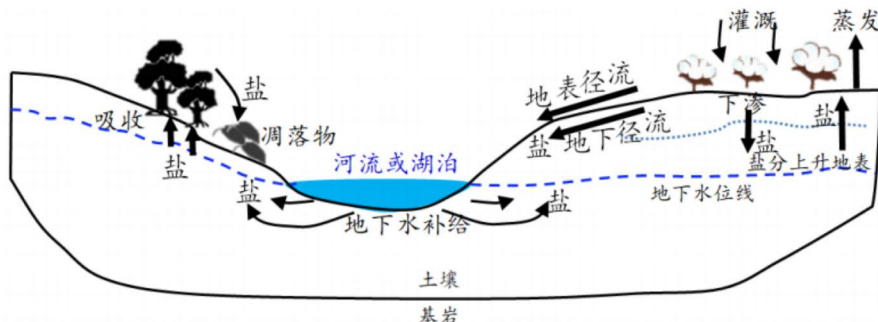
(1) 从降水角度简析太行山区生态脆弱的主要原因。（3分）

(2) 结合材料一，分析太行山区耕地转化的特点。（5分）

(3) 指出岭西村发展独立式风光储互补微电网供电模式的合理性。（5分）

27. 阅读材料，完成下列问题。（12分）

**材料一：**新疆尉犁县位于天山南麓巨型冲（洪）积扇上，也是整个塔里木盆地的海拔较低处，塔里木河、孔雀河穿境而过，形成大面积的盐渍化土地。每年夏秋季，塔里木河下游河漫滩上形成众多的“潮汐树”景观（白色盐碱地做底色，穿插深灰色的干涸潮沟）。图1为干旱区盐分输送示意图，图2为盐碱滩“潮汐树”景观图。



第27题图1



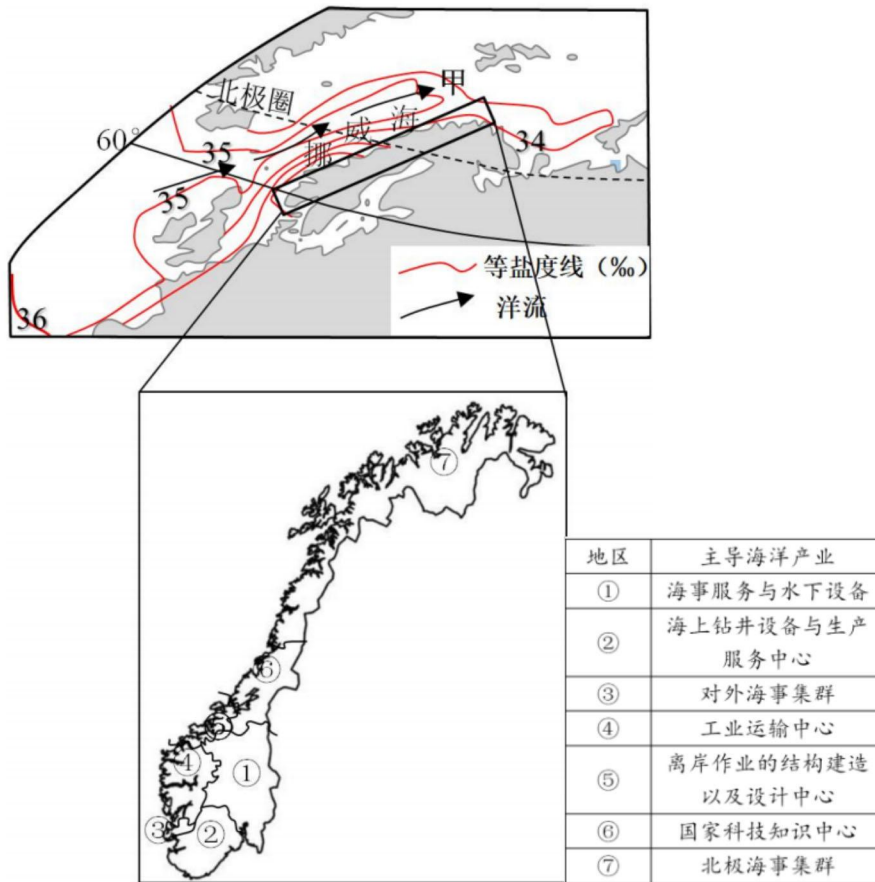
第27题图2

**材料二：**目前，尉犁县大力推广膜下滴灌方法来治理盐碱地，膜下滴灌是给耕地覆一层膜，并在膜下安装滴灌设施进行浇灌，将覆膜栽培技术与滴灌技术相结合。

- (1) 根据图1信息，指出尉犁县大面积盐碱地的盐分来源。（3分）
- (2) 从河流水位角度，简析塔里木河下游“潮汐树”景观的形成过程。（5分）
- (3) 分析尉犁县推广膜下滴灌方法对土壤的改良作用。（4分）

28. 阅读材料，完成下列问题。（20分）

**材料一：**挪威地处北欧，70%的收入来自海洋。根据不同地区所具有的资源禀赋和产业基础，挪威全国形成了分工明确、各有所长的海洋产业格局。下图为北欧周边海域简图及挪威海洋产业布局示意图。



第 28 题图

**材料二：**挪威近年来大力推动深海采矿，地质科研勘探、技术装备研制、环保政策制定等领域走在世界前列，为深海采矿商业化提供了可能。然而，深海生命过程特殊，生境复杂多样，固碳功能巨大，因此挪威深海采矿面临着国际环保组织的强烈反对。

- 按成因分，甲洋流为     ▲     流；并从洋流角度分析挪威海表层盐度偏高的原因。（4分）
- 说明挪威形成分工明确、各有所长的海洋产业格局的益处。（5分）
- 挪威发展深海采矿利用的海洋空间资源是     ▲    ，并简析可能带来的环境问题。（5分）
- 简述挪威海洋产业的发展对我国的启示。（6分）